

浅海長波方程式の有限要素法解析における 問題点とその解決法

高梨和光*・清川哲志**

1. はじめに

浅海長波方程式は津波解析、港内静穏度解析、また最近では海浜変形解析に応用されている。一般に、この方程式を解くのに差分法が用いられているが、境界形状が複雑な実際の地形に対しては有限要素法が有利であると考えられる。しかし、有限要素法による浅海長波方程式の解析は膨大な計算時間を要することと解析上の数値的な減衰、いわゆる人工粘性を生じることによって、現在は実用段階に至っていないものと考えられる。

本研究の目的は浅海長波方程式の実用的な有限要素解析法を提案し、その妥当性について基本的な検討を行うことにある。このため、従来の有限要素法による浅海長波方程式の解法において重大な問題となっている数値的な減衰について理論的検討を行い、これに基づく数値的な減衰を理論上完全に取り除いた定式化を行う。そして、安定性および解の精度の検討を行う。さらに、水深の変化や水路幅の変化による波の変形について理論解と比較し、十分実用に耐えうる解析が行えることを明らかにする。

2. 有限要素法による解析上の問題点と解決法

ここでは微小振幅波を対象にして浅海長波方程式を考えることにする。このとき、浅海長波方程式は次のようになる。

$$\frac{\partial \eta}{\partial t} + \frac{\partial}{\partial x}(hu) + \frac{\partial}{\partial y}(hv) = 0 \quad \dots \dots \dots (1)$$

$$\frac{\partial u}{\partial t} + g \frac{\partial \eta}{\partial x} = 0 \quad \dots \dots \dots (2)$$

$$\frac{\partial v}{\partial t} + g \frac{\partial \eta}{\partial y} = 0 \quad \dots \dots \dots (3)$$

ここで、 η は水位上昇量、 u 、 v は断面平均流速、 h は水深、 g は重力加速度である。

一般に、浅海長波方程式を有限要素法によって解く場合、空間方向の離散化に重み付き残差法が用いられ、時間方向へは時間積分法による離散化が行なわれる。(1)

式、(2)式と(3)式の重み付き残差方程式は次のようになる。

$$\int_V \eta^* \frac{\partial \eta}{\partial t} dV + \int_V \eta^* \frac{\partial}{\partial x}(hu) dV + \int_V \eta^* \frac{\partial}{\partial y}(hv) dV = 0 \quad \dots \dots \dots (4)$$

$$\int_V u^* \frac{\partial u}{\partial t} dV + g \int_V u^* \frac{\partial \eta}{\partial x} dV = 0 \quad \dots \dots \dots (5)$$

$$\int_V v^* \frac{\partial v}{\partial t} dV + g \int_V v^* \frac{\partial \eta}{\partial y} dV = 0 \quad \dots \dots \dots (6)$$

ここで、 η^* は仮想水位上昇量、 u^* 、 v^* は仮想断面平均流速である。さらに、(4)式、(5)式と(6)式の重み付き残差方程式に内挿補間関数を用いて離散化を行う。このとき、水位上昇量、断面平均流速と水深に1次多項式を用いる。仮想水位上昇量と仮想断面平均流速についても同様に取り扱う。離散化された方程式をマトリクスを用いて表わすと次のようになる。

$$[M]\{\phi\}_{,t} + [K]\{\phi\} = \{0\} \quad \dots \dots \dots (7)$$

ここで、 $[M]$ は質量行列、 $[K]$ は剛性行列と呼ばれ、 $\{\phi\}$ は水位上昇量と断面平均流速によるベクトルである。ここでは、境界条件として自然境界条件を考慮していないので、部分積分によって生じる荷重項はない。重み付き残差法による離散化は差分法による離散化と異なり、左辺第1項に質量行列 $[M]$ が作用する。このために、時間方向への離散化に関して適合性や安定性などの問題が生じる。さらに、方程式を解くのに連立1次方程式を解かなければならないので、解析を行うのに膨大な計算時間を要することになる。

有限要素法を用いて浅海長波方程式を効率良く解く試みは、川原・竹内・首藤¹⁾によって行なわれた。彼らは安定性を考慮して、時間積分法に2段階ラックス・ヴェンドロフ法を用いた。(7)式に2段階ラックス・ヴェンドロフ法を用いると次のようになる。

$$[M]\{\phi\}^{n+1/2} = [M]\{\phi\}^n - \frac{1}{2}\Delta t [K]\{\phi\}^n \quad \dots \dots \dots (8)$$

$$[M]\{\phi\}^{n+1} = [M]\{\phi\}^n - \Delta t [K]\{\phi\}^{n+1/2}, \dots \dots \dots (9)$$

ここで、 Δt は時間刻みである。また、肩付添字 n は時間ステップを表わす。さらに、高速計算を行うために、(8)式と(9)式の左辺の質量行列の集中化を行なった。

* 正会員 工修 清水建設(株) 大崎研究室

** 正会員 清水建設(株) 大崎研究室

集中化は非対角項の成分を対角項に集めることによって行われ、集中化された行列の成分は次のようになる。

ここで、 m_{ij} は質量行列の成分、 M_{ij} は集中化された質量行列の成分である。質量行列は集中化することによって対角行列になる。したがって、左辺の質量行列の集中化を行うことによって、連立 1 次方程式を解く必要がなくなるので、高速計算が可能になる。左辺の質量行列の集中化を行うと、(8) 式と (9) 式は次のようになる。

$$[\bar{M}]\{\phi\}^{n+1/2} = [M]\{\phi\}^n - \frac{1}{2}At[K]\{\phi\}^n \quad \dots (12)$$

$$[\bar{M}]\{\phi\}^{n+1} = [M]\{\phi\}^n - At[K]\{\phi\}^{n+1/2} \dots \quad (13)$$

ここで、 $[\bar{M}]$ は集中化された質量行列である。しかし、(12) 式と (13) 式を用いることによって、高速計算が可能になったものの、数値的な減衰が生じるという実用上の問題を残した。これに対し、川原²⁾は数値的な減衰を取り除くために、(12) 式と (13) 式の右辺の質量行列を整合質量行列 $[M]$ と集中質量行列 $[\bar{M}]$ を混合した行列に置き換えている。川原によって提案された改良 2 段階ラックス・ヴェンドロフ法は次のようになる。

$$[\tilde{M}]\{\phi\}^{n+1/2} = [\tilde{M}]\{\phi\}^n - \frac{1}{2}\Delta t [K]\{\phi\}^n \quad \dots (14)$$

$$[\tilde{M}]\{\phi\}^{n+1} = [\tilde{M}]\{\phi\}^n - 4t[K]\{\phi\}^{n+1/2} \dots \quad (15)$$

ここで、 $[\tilde{M}]$ は混合行列で、 $[M]$ と $[\tilde{M}]$ の重み付き平均で次のように定義される。

$$[\tilde{M}] = \theta[\bar{M}] + (1-\theta)[M] \quad \dots \dots \dots \quad (16)$$

川原は重み θ ($0 \leq \theta \leq 1$) を混合比と呼び、 θ の値が 0.7 ~0.9 を用いる場合に良い結果が得られ、1 を用いる場合には計算が不安定になると言っている。そして、 $\theta=0.8$ を用いて解析を行なっている。このとき、 θ の値に 0 を用いると川原・竹内・首藤の方法になる。これによって、数値的な減衰はかなり減ったものの、十分に取り除くことはできなかった。図-1 は水深 10 m、水路幅 2 m、水路長 100 m の 1 次元水路の要素分割図である。

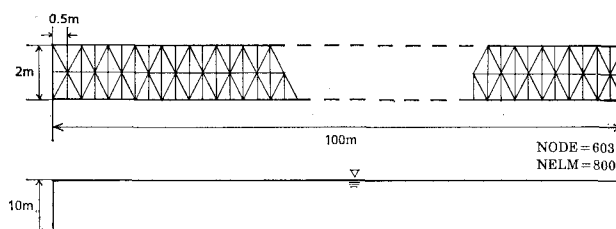


図-1 1次元水路の要素分割図

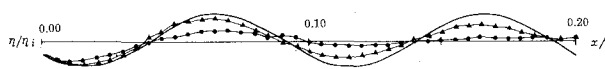


図-2 数値的な減衰がある波の伝播

図-2はこの水路を用い、川原・竹内・首藤の方法、および川原の方法で波長10mの波を伝播させ、9秒後の波形を入口から2波長分だけ取り出して理論解と比較したものである。丸印が川原・竹内・首藤の方法、三角印が川原の方法、実線が理論解である。川原・竹内・首藤の方法は数値的な減衰によって波が伝わらない。川原の方法でも波は減衰しながら伝播している。

(1) 数値的な減衰が生じている原因

このように、数値的な減衰が生じている原因は重み付き残差法を用いた弱形式による定式化であると考えられる。そこで、水深を一定とした1次元問題を考え、数値的な減衰が生じている原因が弱形式による定式化であることを明らかにする。(4)式、(5)式と(6)式を1次要素を用いて離散化すると次のような漸化式が得られる。

$$(1/6)(\eta_{j-1} + 4\eta_j + \eta_{j+1}), t \\ + (h/24x)(-\mathbf{u}_{j-1} + \mathbf{u}_{j+1}) = 0 \quad \dots \dots \dots (17)$$

$$(1/6)(u_{j-1} + 4u_j + u_{j+1}),_t + (g/2\Delta x)(-\eta_{j-1} + \eta_{j+1}) = 0 \quad \dots\dots\dots(18)$$

このとき、(17) 式と (18) 式は次のように変形することができる。

$$\eta_{j,t} + (h/2\Delta x)(-u_{j-1} + u_{j+1}) \\ + (1/6)(\eta_{j-1} - 2\eta_j + \eta_{j+1}), t=0 \quad \dots \dots \dots (19)$$

$$u_{j,t} + (g/2\Delta x)(-\eta_{j-1} + \eta_{j+1}) \\ + (1/6)(u_{j-1} - 2u_j + u_{j+1}), t=0 \dots \dots \dots (20)$$

ここで次の関係式を用いている.

$$\eta_{j-1} + 4\eta_j + \eta_{j+1} = 6\eta_j + (\eta_{j-1} - 2\eta_j + \eta_{j+1}) \quad \dots \quad (21)$$

$$u_{j-1} + 4u_j + u_{j+1} = 6u_j + (u_{j-1} - 2u_j + u_{j+1}) \quad \dots \dots \dots \quad (22)$$

このとき、(19) 式と (20) 式において、 $4x$ を 0 に近づけると、(0 にはならない) 次のようになる：

$$\frac{\partial \eta}{\partial t} + h \frac{\partial u}{\partial x} + \frac{1}{6} 4x^3 \frac{\partial^2 \eta}{\partial t \partial x^2} = 0 \quad \dots \dots \dots (23)$$

$$\frac{\partial u}{\partial t} + g \frac{\partial \eta}{\partial x} + \frac{1}{6} 4x^2 \frac{\partial^2 u}{\partial t \partial x^2} = 0 \quad \dots \dots \dots \quad (24)$$

ここで、 $4x$ は要素幅である。このように、有限要素近似で得られた漸化式には（23）式と（24）式の第3項のような本来の微分方程式系にはなかった水位勾配や流速勾配の空間および時間変化率に相当する項が付け加わっている。このように、本来の微分方程式系にはなかった項が付加されたのは、有限要素近似が差分近似のような強い近似ではなく、重み付き残差法に基づく弱形式による弱い近似であることによると考えられる。そして、この付加された項が数値的な減衰をもたらしているものと考えられる。（23）式と（24）式に付加した項を取り除くには次のように変形すれば良い。

$$\eta_{i,t} + (h/24x)(-u_{i-1} + u_{i+1}) = 0 \quad \dots\dots (25)$$

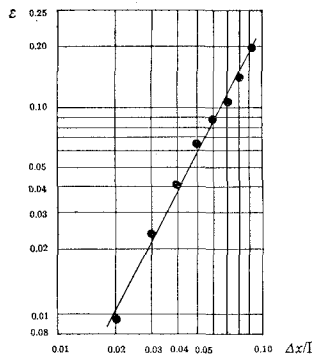


図-4 要素分割と解の精度

る。計算誤差 ϵ は $\Delta x/L$ が 0.05 の場合に 7%, $\Delta x/L$ が 0.02 の場合で 1% の値である。したがって、解析を行う場合、実用上 $\Delta x/L$ が 0.05 以下、すなわち、1 波長を 20 分割以上する必要がある。また、要素分割と計算誤差との間には次の関係があることがわかる。

$$\epsilon \propto (\Delta x/L)^2 \quad \dots \dots \dots \quad (39)$$

これは、離散化誤差がほぼ波長に対する相対的な要素面積の 2 乗に比例することを表わしている。図-5 は $\Delta x/L$

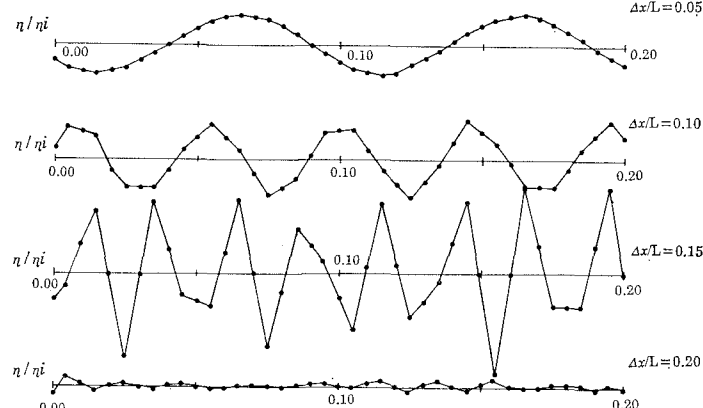


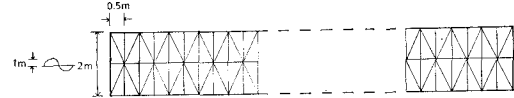
図-5 要素分割と波の伝播

を 0.05, 0.10, 0.15 と 0.20 として波を伝播させ、時刻 9 秒での波形を入口から水路長 L の 1/5 まで表わしたものである。このように、 $\Delta x/L$ の値を大きくすると計算誤差 ϵ が大きくなるだけでなく、波の形を保たなくなる。 $\Delta x/L$ が 0.10 の場合には波形が角々しくなり、 $\Delta x/L$ が 0.15 の場合には激しく振動する。さらに、 $\Delta x/L$ が 0.20 になると波が伝播しない。したがって、浅水域での波動の解析を行う場合、水深によって波長が変化するので特に単位波長に対する要素幅 $\Delta x/L$ の設定に注意しなければならない。

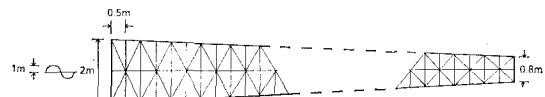
(3) 漸変水路における波の変形

水深の変化や水路幅の変化によって波は変形する。このような波の変形をどの程度解析できるかを検討する。

ここで、 η は各点の水位上昇量、 $\bar{\eta}$ は各点での水位上昇量の理論値、 η_i は入口での波の振幅、 n は 1 波長に含まれる節点数である。横軸 $\Delta x/L$ は単位波長に対する要素幅である。黒丸は計算結果で、実線は計算結果に基づいて決定したものである。



(a) 水深変化のある水路



(b) 水路幅変化のある水路

図-6 漸変水路の要素分割図

$\Delta x/L = 0.05$

図-6 (a) は水深の変化による波の変形の計算に用いた要素分割図である。図-6 (b) は水路幅の変化による波の変形の計算に用いた要素分割図である。図-7 は図-6 (a) の水路を用いて、水路の出口に進行波の条件を与え、入口から波を入れた場合の各点での水位上昇量の最大値を表わしたものである。ここで、 h は水深、 h_0 は入口での水深、 η は水位上昇量の最大値、 η_0 は入口での水位上昇量の最大値である。丸印は $\Delta x/L$ が 0.02 の場合、三角印は $\Delta x/L$ が 0.01 の場合の計算結果である。実線はグリーン公式⁴⁾による理論解である。実用的な範囲で良

く一致していると思われる。図-8 は図-6 (b) の水路を用いて、水路の出口に進行波の条件を与え、入口から波を入れた場合の各点での水位上昇量の最大値を表わしたものである。ここで、 b は水路幅、 b_0 は入口での水路

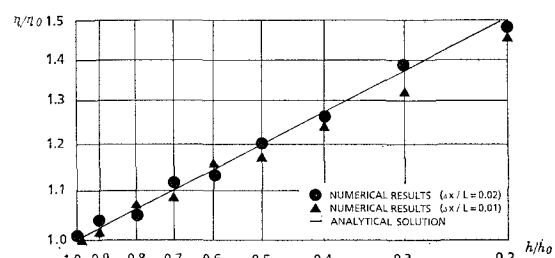


図-7 水路幅変化による波の変形

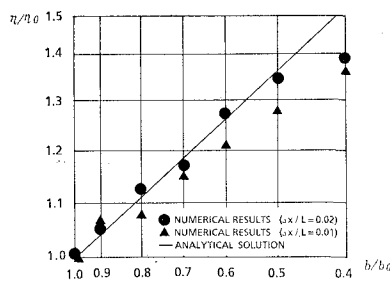


図-8 水深変化による波の変形

幅、 η は水位上昇量の最大値、 η_0 は入口での水位上昇量の最大値である。丸印は $\Delta x/L$ が0.02の場合、三角印は $\Delta x/L$ が0.01の場合の計算結果である。実線はグリーンの公式による理論解である。この場合も実用的な範囲で良く一致していることがわかる。出口付近で多少合っていないのは水路が細くなっているために反射が起きているものと思われる。

(4) 要素分割数と計算時間

本解析法は数値的な減衰を取り除くと同時に高速計算を行うために質量行列の集中化を行っている。図-1の要素分割を用いて900回の計算を行うのに196.75秒(M180-AD II)を要した。したがって、1節点当たり362マイクロ秒になる。これは実用的な計算を行う範囲にあると思われる。

4. まとめ

(1) 従来の有限要素解析では形式上ナビエ・ストークス

方程式の粘性項に対応する項が付加され、この項の存在が波の伝播に伴う波高の数値的な減衰をもたらしていることを明らかにした。

- (2) 高速計算を行うために導入された質量行列の集中化は有限要素近似を差分近似のように強い近似に変更する機能を持ち、質量行列の集中化によって正しい解析が行えることを明らかにした。
- (3) 数値的な減衰を生じないで高速計算が行える実用的な有限要素法を提案した。本解析法は本質的に不規則格子の差分法と等価であり、複雑な境界形状に対応できる有限要素法の利点、高速計算が可能な差分法の利点、両方を同時に生かした解析法ということができる。
- (4) 従来、精度の問題などの基本的な問題についてほとんど検討されていなかったが、これを検討し、本解析法が妥当な結果を与えることを明らかにした。

おわりに、本研究を進めるにあたって清水建設(株)流体力学研究会のメンバー、特に大山 巧氏との議論は有意義であった。ここに記して謝意を表するものである。

参考文献

- 1) 川原睦人・竹内則雄・首藤伸夫: 2段階ラックス・ヴェン・ドロフ有限要素法による潮流流解析、第23回海岸工学講演会論文集、土木学会、pp. 498~501、1976。
- 2) 犀津久一郎他: 有限要素法ハンドブック、II 応用編、培風館、pp. 653~668、1983。
- 3) 川原睦人: 逐次時間積分型有限要素法とその安定性について、第24回海岸工学講演会論文集、土木学会、pp. 30~34、1977。
- 4) 堀川清司: 海岸工学、東京大学出版会、1979。